

УДК 004.942

В. А. Федорчук, д-р техн. наук, професор,
О. І. Махович, аспірант

Кам'янець-Подільський національний університет
імені Івана Огієнка, м. Кам'янець-Подільський

ДОСЛІДЖЕННЯ ДИНАМІКИ НЕСТАЦІОНАРНИХ ТЕПЛОВИХ ПРОЦЕСІВ ІЗ СИМЕТРИЧНИМИ ГРАНИЧНИМИ УМОВАМИ МЕТОДОМ ПЕРЕРІЗІВ

Розглядається метод дослідження динаміки нестационарних теплових процесів, який враховує особливість симетричних граничних умов. Апроксимація диференціального рівняння в частинних похідних системою звичайних диференціальних рівнянь дала змогу істотно спростити обчислювальний алгоритм за умови забезпечення прийнятної точності розв'язків.

Ключові слова: модель, нестационарний тепловий процес, симетричні граничні умови, апроксимація, чисрова реалізація.

Вступ. Дослідження динаміки теплових процесів відіграє важливу роль у задачах проектування сучасних технічних об'єктів, оскільки їх надійність та ефективність функціонування в значній мірі залежить від правильності розрахунку температурних режимів експлуатації. Математичними моделями таких процесів, зазвичай, є диференціальні рівняння в частинних похідних гіперболічного та параболічного типу [1–3]. Способи їх розв'язування значною мірою відрізняються в залежності від граничних умов [1; 4; 5]. Існуючі програмні засоби, які можна застосувати для чисової реалізації таких моделей використовують переважно різницеві схеми та вимагають, як правило, значних обчислювальних потужностей [1; 6]. Тому доцільнім є пошук універсального підходу до розробки методів чисової реалізації моделей процесів тепlopровідності для випадків симетричних граничних умов першого, другого та третього роду.

Розглянемо методику дослідження нестационарних теплових процесів у необмеженій пластині з симетричними граничними умовами першого роду.

Постановка задачі. Температура $T(x, t)$ на краях необмеженої пластини примусово змінюється за законом $F_{ep1}(t) \equiv T(x, t)|_{x=\pm 1}$, який задається функцією часу (рис. 1).

Всередині пластини діє джерело тепла, потужність якого пропорційна $f(t)$. У початковий момент задано розподіл температури по товщині $F_{PV}(x) \equiv T(x, t)|_{t=0}$. Необхідно знайти розподіл температури в пластині.

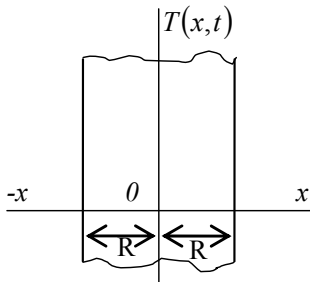


Рис. 1. Схематичне зображення об'єкта моделювання

У цьому випадку нестационарний тепловий процес описується одномірним гіперболічним рівнянням тепlopровідності:

$$c(x)\rho(x)\frac{\partial T(x,t)}{\partial t} + \tau_r \frac{\partial^2 T(x,t)}{\partial t^2} = \frac{\partial}{\partial x} \left(k(x) \frac{\partial T(x,t)}{\partial x} \right) + f(t), \quad -1 \leq x \leq 1,$$

де $c(x)$ — питома теплоємність, $\rho(x)$ — густина, $k(x)$ — коефіцієнт тепlopровідності, $f(t)$ — внутрішнє джерело тепла, x — просторова координата, t — час. Оскільки час релаксації τ_r теплового потоку є малою величиною (для газів та металів має порядок відповідно 10^{-9} с і 10^{-11} с [6]), то для багатьох практичних розрахунків (при відсутності високої інтенсивності зміни теплового потоку) додатковим доданком

$\tau_r \frac{\partial^2 T(x,t)}{\partial t^2}$, який враховує скінченну швидкість переносу теплоти, можна знехтувати [5]. Таким чином, спрощена модель теплоперенесення описується рівнянням у частинних похідних параболічного типу:

$$\frac{\partial T(x,t)}{\partial t} = a(x) \frac{\partial^2 T(x,t)}{\partial x^2} + b(x) \frac{\partial T(x,t)}{\partial x} + q(x)f(t), \quad -1 \leq x \leq 1, \quad (1)$$

у якому $b(x) = \frac{k'(x)}{c(x)\rho(x)}$, $q(x) = \frac{1}{c(x)\rho(x)}$, а коефіцієнт темпера-

$$\text{туропровідності } a(x) = \frac{k(x)}{c(x)\rho(x)}.$$

Припустимо, що розв'язок $T(x,t)$ рівняння (1) може бути апроксимований рядом $T(x,t) = \sum_{n=1}^{\infty} V_n(t)Q_n(x)$, в якому $Q_n(x)$ — відомі функції, наприклад, x^n , x^{2n} , $\cos nx$ та ін., які мають похідні відповідних порядків по x .

Похідні $\frac{\partial T(x,t)}{\partial x}, \frac{\partial^2 T(x,t)}{\partial x^2}$, з використанням граничних умов, можуть бути розвинені в ряд за функціями $T(x, t)$:

$$\frac{\partial^2 T(x,t)}{\partial x^2} = \sum_{n=1}^{\infty} V_n(t) \frac{\partial^2 Q_n(x)}{\partial x^2} = \sum_{i=1}^{\infty} D_i(x, x_i) T(x_i, t). \quad (2)$$

Коефіцієнти $D_i(x, x_i)$ виражаються через відомі функції $Q_n(x)$, їх похідні та через граничні умови.

Для задач, що мають симетричні граничні умови, виберемо функцію $Q_n(x) = x^{2n}$, і ряд (2) обмежений трьома членами із опорними

точками $x_0 = 0, x_1 = \frac{1}{2}, x_2 = 1$.

Можна побудувати інтерполяційний поліном Лагранжа

$$\begin{aligned} T(x,t) &\approx T(x_0,t) \frac{(x^2 - x_1^2)(x^2 - x_2^2)}{(x_0^2 - x_1^2)(x_0^2 - x_2^2)} + \\ &+ T(x_1,t) \frac{(x^2 - x_0^2)(x^2 - x_2^2)}{(x_1^2 - x_0^2)(x_1^2 - x_2^2)} + T(x_2,t) \frac{(x^2 - x_0^2)(x^2 - x_1^2)}{(x_2^2 - x_0^2)(x_2^2 - x_1^2)}, \end{aligned} \quad (3)$$

за трьома заданими точками x_0, x_1, x_2 . Вирази частинних похідних отримуємо шляхом диференціювання за координатою x .

Після спрощення маємо:

$$\begin{aligned} T(x,t) &\approx (4x^4 - 5x^2 + 1)T(0,t) + \\ &+ \frac{16}{3}x^2(1-x^2)T\left(\frac{1}{2},t\right) + \frac{1}{3}x^2(4x^2-1)F_{ep1}(t). \end{aligned} \quad (4)$$

Продиференціювавши (4) за координатою x , отримуємо вираз для частинної похідної першого порядку

$$\begin{aligned} \frac{\partial T(x,t)}{\partial x} &\approx 2x(8x^2 - 5)T(0,t) - \frac{32}{3}x(2x^2 - 1)T\left(\frac{1}{2},t\right) + \\ &+ \frac{2}{3}x(8x^2 - 1)F_{ep1}(t) \end{aligned} \quad (5)$$

звідки отримуємо

$$\frac{\partial^2 T(x,t)}{\partial x^2} \approx (48x^2 - 10)T(0,t) - \left(64x^2 - \frac{32}{3}\right)T\left(\frac{1}{2},t\right) + \left(16x^2 - \frac{2}{3}\right)F_{ep1}(t). \quad (6)$$

Підставивши в (1) вирази частинних похідних (6) і (5), отримуємо

$$\begin{aligned} \frac{\partial T(x,t)}{\partial t} = & \left[16x^2(3a(x) + xb(x)) - 10(a(x) + xb(x)) \right] T(0,t) + \\ & + \left[-64x^2 \left(a(x) + \frac{1}{3}xb(x) \right) + \frac{32}{3}(a(x) + xb(x)) \right] T\left(\frac{1}{2},t\right) + \quad (7) \\ & + \left[16x^2 \left(a(x) + \frac{1}{3}xb(x) \right) - \frac{2}{3}(a(x) + xb(x)) \right] F_{ep1}(t) + q(x)f(t). \end{aligned}$$

Вважаючи послідовно $x = 0$ та $x = \frac{1}{2}$, отримуємо систему двох звичайних диференціальних рівнянь першого порядку для визначення $T(0, t)$ та $T\left(\frac{1}{2}, t\right)$:

$$\begin{cases} \frac{dT(0,t)}{dt} = -10a(0)T(0,t) + \frac{32}{3}a(0)T\left(\frac{1}{2},t\right) - \frac{2}{3}a(0)F_{ep1}(t) + \\ + q(0)f(t); \\ \frac{dT\left(\frac{1}{2},t\right)}{dt} = \left[2a\left(\frac{1}{2}\right) - 3b\left(\frac{1}{2}\right) \right] T(0,t) - \frac{8}{3} \left[2a\left(\frac{1}{2}\right) + b\left(\frac{1}{2}\right) \right] T\left(\frac{1}{2},t\right) + \\ + \frac{1}{3} \left[10a\left(\frac{1}{2}\right) + b\left(\frac{1}{2}\right) \right] F_{ep1}(t) + q\left(\frac{1}{2}\right)f(t). \end{cases} \quad (8)$$

До системи диференціальних рівнянь задаються відповідні початкові умови $F_{PV}(0)$ та $F_{PV}\left(\frac{1}{2}\right)$.

Розв'язавши систему (8) та скориставшись формуллю (4), отримаємо можливість обчислення наближеного значення функції $T(x, t)$ у будь-якій точці.

Процес розв'язування розглянемо на модельному прикладі конкретної задачі, для якої:

$$a(x) = \frac{b_2(a_0 - a_2 x^2)}{2a_2}, \quad a_0 - a_2 x^2 > 0, \quad 0 < a_2 \leq a_0, \quad b_2 > 0, \quad (9)$$

$$b(x) \equiv 0, \quad q(x) \equiv 1, \quad f(t) = b_1 e^{-b_1 t}, \quad (10)$$

$$F_{ep1}(t) = 1 - e^{-b_1 t} + (a_0 - a_2) e^{-b_1 t}, \quad (11)$$

$$F_{PV}(x) = a_0 - a_2 x^2. \quad (12)$$

Задача (1), (9)–(12) має точний аналітичний розв'язок

$$T(x, t) = 1 - e^{-b_1 t} + (a_0 - a_2 x^2) e^{-b_2 t}. \quad (13)$$

Із врахуванням (10)–(11) система (8) має вигляд:

$$\begin{cases} \frac{dT(0, t)}{dt} = a(0) \left[-10T(0, t) + \frac{32}{3} T\left(\frac{1}{2}, t\right) - \frac{2}{3} F_{zp1}(t) \right] + f(t); \\ \frac{dT\left(\frac{1}{2}, t\right)}{dt} = a\left(\frac{1}{2}\right) \left[2T(0, t) - \frac{16}{3} T\left(\frac{1}{2}, t\right) + \frac{10}{3} F_{zp1}(t) \right] + f(t). \end{cases} \quad (14)$$

До диференціальних рівнянь задаються відповідні початкові умови, отримані із (12):

$$F_{pV}(0) = a_0, \quad F_{pV}\left(\frac{1}{2}\right) = a_0 - \frac{a_2}{4}. \quad (15)$$

Обчислювальний експеримент. Апробація методу проведена шляхом обчислювального експерименту для кроку дискретизації $\tau = 10^{-4}$ с по часовій змінній при наступних значеннях коефіцієнтів:

$$a_0 = 300; \quad a_2 = 0,5; \quad b_1 = 0,1; \quad b_2 = 0,5. \quad \text{Тоді } a(0) = 150, \quad a\left(\frac{1}{2}\right) = \frac{2399}{16},$$

$$f(0, t) = f\left(\frac{1}{2}, t\right) = 0,1e^{-0,1t}, \quad F_{zp1}(t) = 1 - e^{-0,1t} + 299,5e^{-0,5t}, \quad t \in [0, 0,5],$$

$x \in [-1, 1]$. Для просторової координати вибрано крок дискретизації 0,05.

Система (14) чисельно розв'язувалась у середовищі Matlab за допомогою стандартної функції *ode15s*.

Отримані результати використовувались для обчислення розв'язків для будь-яких значень просторової координати і для будь-якого моменту часу за допомогою формули (4), яка із врахуванням вибраних коефіцієнтів набуває вигляду

$$\begin{aligned} T(x, t) \approx & \left(4x^4 - 5x^2 + 1\right) T(0, t) + \frac{16}{3} x^2 (1 - x^2) T\left(\frac{1}{2}, t\right) + \\ & + \frac{1}{3} x^2 (4x^2 - 1) (1 - e^{-0,1t} + 299,5e^{-0,5t}). \end{aligned} \quad (16)$$

Результати розв'язування модельної задачі представлені на рис. 2.

В експерименті досліджувалась відносна похибка розв'язку. Наблизений розв'язок задачі (1), (9)–(12) порівнювався із точним (13). Значення відносної похибки не перевищувало $\delta \leq 0,01$.

Вигляд функції відносної похибки $\delta(x, t)$ представлений на рис. 3.

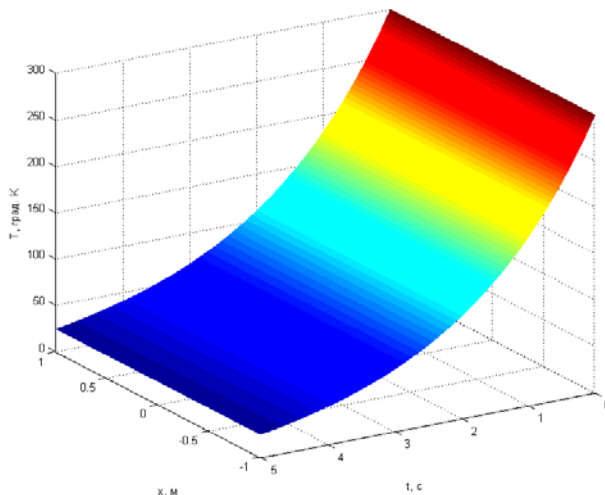


Рис. 2. Графік розподілу температури по товщині пластини із плином часу

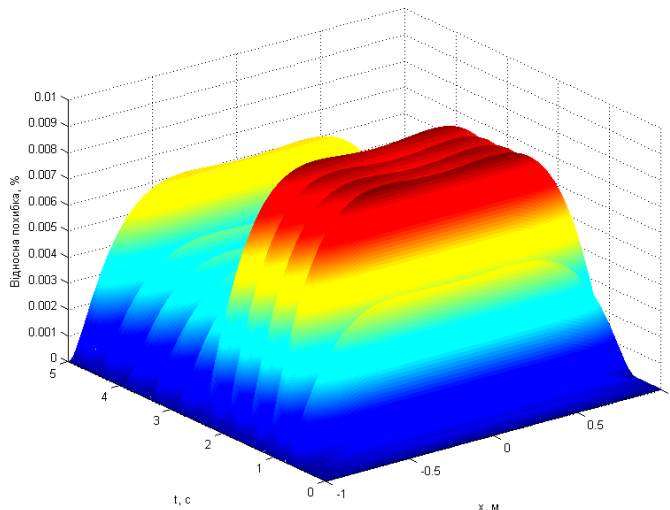


Рис. 3. Графік залежності відносної похибки від просторової та часової координат

Отримана вище формула (4) справедлива для симетричних граничних умов першого роду. Якщо ж задано симетричні граничні умови другого роду

$$\left. \frac{\partial T(x,t)}{\partial x} \right|_{x=\pm 1} \equiv \pm F_{ep2}(t), \quad (17)$$

то апроксимаційний вираз функції $T(x, t)$ має вигляд:

$$\begin{aligned} T(x, t) \approx & \frac{1}{7} T(0, t) (16x^4 - 32x^2) + \\ & + \frac{1}{7} T\left(\frac{1}{2}, t\right) (-16x^4 + 32x^2) + T(0, t) + \frac{2}{7} x^2 \left(x^2 - \frac{1}{4}\right) F_{ep2}(t). \end{aligned} \quad (18)$$

Продиференціювавши (18) за змінною x , отримаємо вираз частинної похідної першого порядку:

$$\frac{\partial T(x, t)}{\partial x} \approx \frac{64}{7} x (x^2 - 1) \left[T(0, t) - T\left(\frac{1}{2}, t\right) \right] + \frac{1}{7} x (8x^2 - 1) F_{ep2}(t). \quad (19)$$

Апроксимація частинної похідної другого порядку за змінною x функції $T(x, t)$ має вигляд:

$$\frac{\partial^2 T(x, t)}{\partial x^2} \approx \frac{64}{7} (3x^2 - 1) \left[T(0, t) - T\left(\frac{1}{2}, t\right) \right] + \frac{1}{7} (24x^2 - 1) F_{ep2}(t). \quad (20)$$

Безпосередньо перевіркою шляхом підстановки переконуємось, що в точках $x = 0$ та $x = \frac{1}{2}$ вираз (18) перетворюється в тотожність.

Підставивши в (1) вирази частинних похідних (20) і (19), отримаємо

$$\begin{aligned} \frac{\partial T(x, t)}{\partial t} = & \frac{64}{7} \left[x^2 (3a(x) + xb(x)) - a(x) - xb(x) \right] \times \left[T(0, t) - T\left(\frac{1}{2}, t\right) \right] + \\ & + \frac{1}{7} \left[8x^2 (3a(x) + xb(x)) - a(x) - xb(x) \right] F_{ep2}(t) + q(x) f(t). \end{aligned} \quad (21)$$

Система диференціальних рівнянь для визначення невідомих функцій $T(0, t)$ та $T\left(\frac{1}{2}, t\right)$ має вигляд:

$$\begin{cases} \frac{dT(0, t)}{dt} = \frac{1}{7} a(0) \left[64 \left(T\left(\frac{1}{2}, t\right) - T(0, t) \right) - F_{ep2}(t) \right] + \\ + q(0) f(t); \\ \frac{dT\left(\frac{1}{2}, t\right)}{dt} = \frac{8}{7} \left[2a\left(\frac{1}{2}\right) + 3b\left(\frac{1}{2}\right) \right] \cdot \left[T\left(\frac{1}{2}, t\right) - T(0, t) \right] + \\ + \frac{1}{7} \left[5a\left(\frac{1}{2}\right) + \frac{1}{2} b\left(\frac{1}{2}\right) \right] F_{ep2}(t) + q\left(\frac{1}{2}\right) f(t). \end{cases} \quad (22)$$

У випадку задання граничних умов третього роду

$$\left[\pm \alpha T(x, t) + \beta \frac{\partial T(x, t)}{\partial t} \right]_{x=\pm 1} \equiv F_{ep3}(t), \quad (23)$$

апроксимаційний вираз для наближеного обчислення значень функції набуде вигляду:

$$\begin{aligned} T(x, t) \approx & \left[\frac{4(3\alpha+8\beta)x^4 - (15\alpha+64\beta)x^2}{3\alpha+14\beta} \right] T(0, t) + \\ & + \left[\frac{16(\alpha+4\beta)x^2 - 16(\alpha+2\beta)x^4}{3\alpha+14\beta} \right] T\left(\frac{1}{2}, t\right) + \frac{x^2(4x^2-1)}{3\alpha+14\beta} F_{ep3}(t) + T(0, t). \end{aligned} \quad (24)$$

Продиференціювавши (24) за змінною x , отримаємо вираз для апроксимації частинної похідної першого порядку:

$$\begin{aligned} \frac{\partial T(x, t)}{\partial x} \approx & \left[\frac{16(3\alpha+8\beta)x^3 - 2(15\alpha+64\beta)x}{3\alpha+14\beta} \right] T(0, t) + \\ & + \left[\frac{32(\alpha+4\beta)x - 64(\alpha+2\beta)x^3}{3\alpha+14\beta} \right] T\left(\frac{1}{2}, t\right) + \frac{2x(8x^2-1)}{3\alpha+14\beta} F_{ep3}(t). \end{aligned} \quad (25)$$

Апроксимаційний вираз для частинної похідної другого порядку за змінною x набуде вигляду:

$$\begin{aligned} \frac{\partial^2 T(x, t)}{\partial x^2} \approx & \left[\frac{48(3\alpha+8\beta)x^2 - 30\alpha - 128\beta}{3\alpha+14\beta} \right] T(0, t) + \\ & + 32 \left[\frac{\alpha+4\beta - 6(\alpha+2\beta)x^2}{3\alpha+14\beta} \right] T\left(\frac{1}{2}, t\right) + \frac{48x^2 - 2}{3\alpha+14\beta} F_{ep3}(t). \end{aligned} \quad (26)$$

Після підстановки відповідних значень переконуємося, що в точках $x = 0$ та $x = \frac{1}{2}$ вираз (24) перетворюється в тотожність, приймаючи значення $T(0, t)$ та $T\left(\frac{1}{2}, t\right)$ відповідно.

Для визначення невідомих функцій $T(0, t)$ та $T\left(\frac{1}{2}, t\right)$ потрібно:

підставити в (1) вирази (26) та (25), отримати:

$$\frac{\partial T(x, t)}{\partial t} = W_1(x)T(0, t) + W_2(x)T\left(\frac{1}{2}, t\right) + W_3(x)F_{ep3}(t) + q(x)f(t), \quad (27)$$

де

$$W_1(x) = \frac{16x^2(3\alpha + 8\beta)(3a(x) + xb(x)) - 2(15\alpha + 64\beta)(a(x) + xb(x))}{3\alpha + 14\beta},$$

$$W_2(x) = \frac{32(\alpha + 4\beta)(a(x) + xb(x)) - 64x^2(\alpha + 2\beta)(3a(x) + xb(x))}{3\alpha + 14\beta},$$

$$W_3(x) = \frac{(16x^2 - 2)(3a(x) + xb(x)) + 4a(x)}{3\alpha + 14\beta};$$

отримати систему двох звичайних диференціальних рівнянь у точках

$$x = 0 \text{ та } x = \frac{1}{2}:$$

$$\begin{cases} \frac{dT(0,t)}{dt} = W_1(0)T(0,t) + W_2(0)T\left(\frac{1}{2},t\right) + W_3(0)F_{ep3}(t) + q(0)f(t), \\ \frac{dT\left(\frac{1}{2},t\right)}{dt} = W_1\left(\frac{1}{2}\right)T(0,t) + W_2\left(\frac{1}{2}\right)T\left(\frac{1}{2},t\right) + W_3\left(\frac{1}{2}\right)F_{ep3}(t) + q\left(\frac{1}{2}\right)f(t); \end{cases}$$

розв'язати систему.

Апроксимаційні формулі для частинних похідних, отриманих з використанням граничних умов третього роду, є найбільш універсальними. Поклавши в них $\beta = 0$ або $\alpha = 0$, отримаємо випадки, що відповідають граничним умовам першого або другого роду відповідно і які співпадають із (4) та (18).

Висновки. Аналіз запропонованого методу дослідження динаміки нестационарних теплових процесів показав, що відносна похибка методу не перевищує 0,01%. Отримана точність узгоджується з точністю реальних вимірювань, а універсальність формул, які можна застосовувати для випадків симетричних граничних умов I, II, III роду і простота алгоритмів, за якими проводяться обчислення, дає змогу застосовувати метод у системах із обмеженими обчислювальними ресурсами (наприклад, для систем із вбудованими мікроконтролерами) або для розв'язування оптимізаційних задач, де є необхідність багаторазового знаходження розв'язків. Перспективними розвідками з даного напрямку можуть бути задачі розробки методики застосування методу перерізів до розв'язування краївих задач теплопровідності, а також задач дослідження динаміки нестационарних теплових процесів для тіл скінчених розмірів (прямокутного бруса, круглого стержня, порожнистого циліндра тощо).

Список використаних джерел:

1. Самарский А. А. Вычислительная теплопередача / А. А. Самарский, П. Н. Ва-
бищевич. — М. : Едиториал УРСС, 2003. — 784 с.
2. Лыков А. В. Теория теплопроводности / А. В. Лыков. — М. : Высшая
школа, 1967. — 600 с.
3. Методы определения теплопроводности и температуропроводности /
А. Г. Шашков, Г. М. Волохов, Т. Н. Абраменко, В. П. Козлов ; под ред.
А. В. Лыкова. — М. : Энергия, 1973. — 336 с.
4. Конет И. М. Обобщенные нестационарные температурные поля в пло-
ских прямоугольных областях: Интегральные преобразования в задачах
теплопроводности и упругости / И. М. Конет, М. П. Ленюк. — К.,
1986. — С. 3–15. — (Препринт /АН УССР. Ин-т математики; 86.54).
5. Конет И. М. Нестационарні температурні поля в безкрайній ізотропній
пластиці / І. М. Конет, А. П. Громик // Інтегральні перетворення та їх за-
стосування до краївих задач : зб. наук. праць Ін-та математики
АН України. — К., 1994. — Вип. 5. — С. 92–97.
6. Верлань А. Ф. Компьютерное моделирование процессов передачи тепла в
перспективных базовых несущих конструкциях стоечного типа с тепло-
выми трубами / А. Ф. Верлань, И. О. Горошко, Ю. Е. Николаенко // Мате-
матичні машини і системи. — 2008. — № 2. — С. 90–99.

The method for studying of the dynamics of transient thermal processes,
which takes into account the symmetric boundary conditions considered in the
article. Approximation of partial differential equations through a system of or-
dinary differential equations has significantly simplify the computational algo-
rithm while ensuring acceptable accuracy of the solution.

Key words: *model, transient thermal process, symmetric boundary
conditions, approximation, numerical.*

Отримано: 11.03.2014